

ТРУДЫ  
ОБЩЕСТВА ЕСТЕСТВОИСПЫТАТЕЛЕЙ  
при ИМПЕРАТОРСКОМЪ Казанскомъ Университетѣ  
Томъ XLIV, вып. 4.

---

А. Остроумовъ.

---

КЪ ВАРИАЦИОННОЙ СТАТИСТИКѢ  
КАСПІЙСКИХЪ ДИДАКНИДЪ.

---

Zur Variationsstatistik der Kaspischen Didacniden.

von  
A. Ostroumoff.



КАЗАНЬ.  
Типо-литографія Императорскаго Университета.  
1912.

Печатано по постановлению Общества Естествоиспытателей при Императорскомъ Казанскомъ Университетѣ.

Президентъ Б. Половцовъ.

## Къ варіаціонной статистикѣ каспійскихъ дидакній.

Въ предлагаемой работѣ даются результаты варіаціонно-статистического исчисленія данныхъ опубликованныхъ мною въ 1905 году („Поѣздка на Каспій“. Тр. Общ. Естеств. Т. XXXIX, вып. 6), относящихся къ Каспійскимъ дидакніадамъ. Тамъ были напечатаны таблицы измѣреній, составленныя проф. бар. Ф. Ф. Розеномъ, но онъ не былъ подвергнуты математической обработкѣ соотвѣтственно современнымъ требованіямъ, за неимѣніемъ времени.

Истекшимъ лѣтомъ, будучи вынужденъ по болѣзни не покидать нѣкоторое время своего кабинета, я занялся такой обработкой таблицъ барона Розена и такимъ образомъ намѣренъ пополнить указанный пробѣлъ.

Въ свое время, опубликовывая таблицы, я считалъ это лѣдо лежащимъ на моей нравственной отвѣтственности, что бы тщательный и кропотливый трудъ покойнаго профессора († 1902) по измѣренію раковинъ не оставался безслѣднымъ. Предлагаемая теперь обработка таблицъ, можно сказать, модернизируетъ результаты измѣреній и можно думать, что со временемъ обратитъ на себя вниманіе и палеонтологовъ и конхиологовъ, занимающихся изученіемъ лимнокардидъ. Я говорю „со временемъ“ потому что эта обработка пока стоитъ одиноко и какъ таковая не можетъ имѣть сколько нибудь широкаго значенія.

Изъ пяти измѣренныхъ группъ („Поѣздка на Каспій“ стр. 12) я нахожу возможнымъ подвергнуть математической обработкѣ лишь первыя три. Что касается четвертой группы, то здѣсь слѣдовало бы имѣть отдельныя измѣренія для *M. edentula* и *M. caspia*. Пятая группа (*C. edule*) при небольшемъ числѣ измѣренныхъ створокъ (120) включаетъ материалъ изъ различныхъ мѣстонахожденій, вѣнѣ Каспія.

Первые три группы относятся къ роду *Didacna*.

I. Группа *Catillus* (*D. catillus*, *protracta*, Barbot-de-Marni, *longipes*): тупой киль, задняя площадка отлогая, число реберъ на передней обыкновенно не бываетъ менѣе 16. Макушка не предпринята надъ замкомъ (445 ств.).

II. Группа *Trigonoides* (*D. trigonoides*, *pyramidata*, *trigonoides-catillus*): рѣжущій киль, задняя площадка крутая, число реберъ на передней лишь изрѣдка болѣе 16. Изогнутая макушка приподнята надъ замкомъ (425 ств.).

III. Группа *Crassum* (*D. crassa*, Baeri): тупой киль, задняя площадка крутая, число реберъ на передней обыкновенно не бываетъ менѣе 16. Изогнутая макушка приподнята надъ замкомъ (98 ств.).

Измѣреніями опредѣлены были вышина, длина раковинъ и выпуклость створки. Въ таблицахъ даны абсолютныя величины этихъ измѣреній, при этомъ удвоенная величина выпуклости створки названа толщиною раковины. Я буду ее называть здѣсь вздутостью раковины. Рядомъ съ абсолютными величинами показаны относительныя, гдѣ величина вышины принята за единицу. Эти относительныя величины раздѣлены на классы съ разностью въ 0,05 какъ относительной длины, такъ и относительной вздутости. Комбинаціи соотвѣтственныхъ классовъ названы категоріями.

Классы, или классовые варианты, какъ мы ихъ можемъ назвать, представлены слѣдовательно указателями относительной вздутости и относительной длины раковины къ ея вышинѣ, принятой за единицу. Для болѣе удобнаго оперирования съ числами я взялъ здѣсь за единицу вышины 20 мм.

Тѣ результаты вычисленій, которые даны здѣсь въ миллиметрахъ, легко переводятся на показанія въ процентахъ вышины умноженiemъ на 5, или на показанія въ единицѣ вышины дѣленiemъ на 20.

Въ діаграммахъ на стр. 42 (Поѣздка на Каспій) данъ подсчетъ частоты классовъ въ каждой комбинації. Мнѣ осталось только сложить соотвѣтственные величины, что бы получить частоту всего класса для каждого изъ нихъ.

Изъ всѣхъ трехъ группъ лишь группа catillus при графическомъ изображеніи частоты классовъ какъ вздутости, такъ и длины даетъ одновершинная кривыя. Это обстоятельство дало мнѣ поводъ вычислить теоретическое распределеніе частоты для группы Catillus.

На нижеприведенной таблицы III классы (въ миллиметрахъ) и частота ихъ помѣщены во вторыхъ отъ края рядахъ таблицы. Классы вздутости и частота ихъ отмѣчены:  $V_v$  и  $\Sigma(f_v)$ , классы длины и частота ихъ отмѣчены:  $V_l$  и  $\Sigma(f_l)$ .

Разсмотримъ сначала вздутость. Вычисленіе даетъ <sup>1)</sup> слѣдующія величины.

гр. Catillus. Вздутость.

$$v_1 = 0,10112; v_2 = 2,4472; v_3 = 1,4764; v_4 = 21,00.$$

$$A = 12,611 \pm 0,046 \text{ mm. } \sigma = 1,456 \pm 0,033 \text{ mm. } C = 11,54 \pm 0,26$$

$$\mu_2 = 2,60364; \mu_3 = 0,73605; \mu_4 = 23,05629.$$

$\beta_1 = 1,01753; \beta_2 = 2,71406; F = -0,62447$ . Такъ какъ  $F < 0$  и  $\beta_1 > 0$ , то мы имѣемъ слѣдовательно типъ I. Необходимы величины для вычисленія теоретической частоты классовъ получаются слѣдующія:

<sup>1)</sup> По Davenport. Statistical Methods with special reference to biological variation. New-York. 1904. Относительно формулъ, по которымъ производились вычисленія, см. въ концѣ статьи «Приложеніе».

$s=16,30039$ ;  $\alpha=0,08471 \pm 0,0392$ ;  $D=0,12336 \pm 0,1571$ .

$l=12,2425$ ;  $l_1=5,11582$ ;  $l_2=7,12668$ .

$m_1=5,97586$ ;  $m_2=8,3248$ .

$y_0=116,827$  при  $A-D=12,4878$  mm.;  $x=V-(A-D)$ ,  
гдѣ  $V$  есть величина класса въ миллиметрахъ.

$$\begin{aligned} \lg y = & \lg 116,827 + N\{\lg \lg [1 + N(\lg x - \lg 5,11582)] + \lg 5,97586\} + \\ & + N\{\lg \lg [1 - N(\lg x - \lg 7,12668)] + \lg 8,3248\}. \end{aligned}$$

Сопоставление теоретической частоты ( $y$ ) съ частотой ( $f$ ) полученной изъ таблицъ измѣреній позволяетъ составить слѣдующую таблицу:

### Т А Б Л И Ц А I.

Сопоставление эмпирической и теоретической частоты классовъ вздутости раковинъ въ группѣ Catillus.

$V$	$f$	$y$	$y-f$	$(y-f)^2:y$
9	2	3,4	+ 1,4	0,576
10	29	26,4	-2,6	0,256
11	74	73,0	-1,0	0,014
12	106	111,4	+ 5,4	0,262
13	115	113,0	-2,0	0,035
14	73	73,0	0,0	0,000
15	37	34,1	-2,9	0,247
16	7	9,4	+ 2,4	0,613
17	2	1,3	-0,7	0,377
$\Sigma$ 445		445,0	+ 9,2 - 9,2	2,38 = $\chi^2$

Такъ какъ число классовъ  $n'=9$ , то  $P=0,96$ <sup>1)</sup> т. е. вѣроятность теоретической частоты классовъ очень высокая.

Не столь высокую, но все же удовлетворительную вѣроятность теоретической частоты классовъ получаемъ по отношенію длины раковины, какъ это видно изъ нижеизложеннаго.

гр. Catillus. Длина.

$v_1=-0,38876$ ;  $v_2=2,27191$ ;  $v_3=-2,07416$ ;  $v_4=13,24719$ .  
 $A=28,101 \pm 0,049$  mm.  $\sigma=1,561 \pm 0,035$  mm.  $C=5,55 \pm 0,13$ .

$\mu_1=2,28744$ ;  $\mu_2=0,45799$ ;  $\mu_4=14,20092$ .

$\beta_1=0,030696$ ;  $\beta_2=3,40117$ ;  $F=0,71025$ . Такъ какъ  $F>0$  и  $<1$ ;  $\beta_1>0$ ;  $\beta_2>3$ , то мы имѣемъ типъ IV. Необходимыя величины для вычисленія теоретической частоты классовъ получаются слѣдующія:

$$s=20,025; \alpha=0,07169 \pm 0,039; D=0,1119 \pm 0,495.$$

$$m=11,0125; mD=1,2323.$$

$$\lg l=0,82586; \lg \tau=0,56649$$

$$y_0=87,114 \text{ при } A-mD=26,8688 \text{ mm}; x=V-(A-mD)= \\ =ltang\vartheta.$$

$$\lg y=\lg 87,114 + N[\lg 22,025 + \lg \lg \cos\vartheta] \mp N[3,879661 + \lg 9^{\circ} \\ + 0,56649].$$

Сопоставляя теоретическую частоту ( $y$ ) съ наблюденной ( $f$ ) получаемъ слѣдующую таблицу:

### ТАБЛИЦА II.

Сопоставленіе эмпирической и теоретической частоты классовъ длины раковинъ въ группѣ Catillus.

V	f	y	y-f	(y-f) <sup>2</sup> :y
22	0	0,1	-0,1	0,100
23	0	0,5	-0,5	0,500

<sup>1)</sup> По Elderton. Tables for testing the goodness of fit of theory to observation. Biometrika. Vol. 1. 1901—1902.

V	f	y	y-f	(y-f) <sup>2</sup> :y
24	5	3,1	+ 1,9	1,164
25	14	14,0	0,0	0
26	43	45,2	- 2,2	0,107
27	87	92,0	- 5,0	0,271
28	129	118,4	+ 10,6	0,948
29	98	94,0	+ 4,0	0,170
30	36	50,0	- 14,0	3,920
31	25	19,2	+ 5,8	1,752
32	6	6,0	0,0	0
33	1	2,0	- 1,0	0,500
34	1	0,5	+ 0,5	0,500
$\Sigma$	445	445,0	- 22,8	$9,932 = \chi^2$
			+ 22,8	

такъ какъ число классовъ  $n'=13$ , то  $P=0,62$ .

Какъ въ отношеніи вздутости, такъ и въ отношеніи длины кривыя ихъ эмпирическая и теоретическая весьма близко подходятъ другъ къ другу, несмотря на то, что мы имѣемъ дѣло съ комплекснымъ статистическимъ типомъ. Въ указанныхъ отношеніяхъ группа *Catillus* обнаруживаетъ свойство единаго фенотипа <sup>1)</sup>.

Цѣль, съ какою были предприняты ряды измѣреній, заключалась главнымъ образомъ въ томъ, что бы установить соотношеніе между пластическими признаками раковинъ въ разныхъ группахъ. Слѣдовательно намъ необходимо разсмотрѣть корреляцію между вздутостью и длиной раковинъ. Комбинація этихъ величинъ была дана раньше въ діаграммѣ (Поѣзда на Каспій, стр. 42). Ее остается только приспособить къ нашимъ вычисленіямъ.

<sup>1)</sup> Ср. Johannsen. Elemente der exakten Erblichkeitslehre 1909.

## ТАБЛИЦА III.

Комбинація частоты классовъ длины ( $l$ ) и взлутости ( $v$ ) раковинъ въ группѣ Catillus.

$V_v - V_o$	-4	-3	-2	-1	0	1	2	3	4	$\Sigma(f_v)$	$M_v$
$V_l - V_o$	$V_l$	9	10	11	12	13	14	15	16	17	
-4	24		1		1		3			5	12
-3	25			2	8	2	2			14	12,3
-2	26		5	3	12	10	9	4		43	12,6
-1	27	1	1	13	18	31	17		5	1	87 12,8
0	28		7	25	33	23	22		13	4	2 129 12,6
1	29	1	10	14	22	30	15		5	1	98 12,4
2	30		3	9	9	8	2		5		36 12,7
3	31			5	4	8	5		3		25 12,9
4	32		2	1				2	1		6 12,8
5	33						1			1	14
6	34				1					1	11
$\Sigma(f_v)$	2	29	74	106	115	73	37	7	2	445	
$M_l$	28	28,3	28,4	28,2	28	27,9	28,5	28,6	28		

Таблица составлена такимъ способомъ, что всѣ средніе ряды, за исключеніемъ обоихъ крайнихъ на каждой изъ четырехъ сторонъ таблицы, обозначаются: вертикальные—частоту классовъ взлутости ( $f_v$ ) соотвѣтственно каждому классу длины ( $V_l$ ), горизонтальные—частоту классовъ длины ( $f_l$ ) соотвѣтственно каждому классу взлутости ( $V_v$ ). Предпослѣдній рядъ справа и снизу даетъ сумму соотвѣтственной частоты, а послѣдній рядъ справа ( $M_v$ ) и снизу ( $M_l$ ) показываетъ эмпирическій средній классовый варіантъ соотвѣтствующій данному, по формуламъ:

$$M_l = \frac{\Sigma(V_l f_v)}{\Sigma(f_v)} \quad \text{и} \quad M_v = \frac{\Sigma(V_v f_l)}{\Sigma(f_l)}.$$

Для нахождения коэффициента корреляции имеемъ:  
 $A_v=12,611$ ;  $A_l=28,101$ ;  $\sigma_v=1,456$ ;  $\sigma_l=1,561$ ; затѣмъ вычисляемъ:

$$\frac{\Sigma([V_l - V_o] [V_v - V_o] f)}{n} = -0,04791;$$

$$-\nu_{vl}=0,899; -\nu_{vv}=0,389.$$

Изъ этихъ данныхъ получаемъ коэффициентъ корреляции  $r=-0,175 \pm 0,036$ , который оказывается отрицательнымъ и очень слабымъ. Затѣмъ опредѣляемъ коэффициентъ регрессии длины по отношению вздутости:

$$\varrho_l=-0,187=\tan(-10^{\circ}38')$$

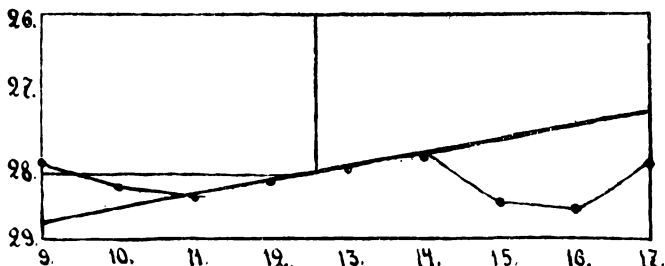
и коэффициентъ регрессии вздутости по отношению длины:

$$\varrho_v=-0,163=\tan(-9^{\circ}16').$$

Теперь мы можемъ сдѣлать графическое соисоставление регрессионной линіи съ данными наблюденія, какъ это показано на фигурахъ 1-ой и 2-ой.

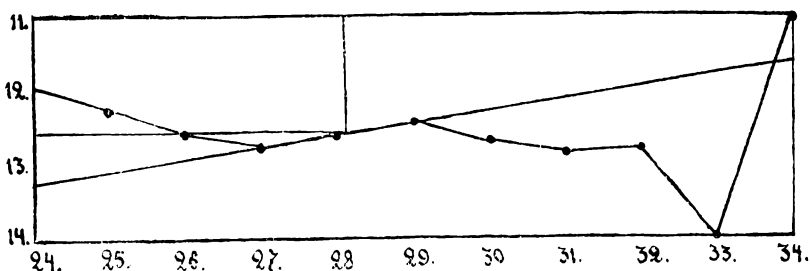
Фиг. 1-ая

гр. Catillus. Линія регрессии длины ( $-\tan 10^{\circ}38'$ ).



Фиг. 2-ая .

гр. Catillus. Линія регрессії взутості (—tang 9° 16').



Лінія регресії проводиться якъ тангенсъ опредѣленного угла, или, что еще проще, по формулѣ, опредѣляющей средніе теоретические варіанты соотвѣтствующіе даннымъ, т. е.:

$$x_l = Q_l V_v - Q_l A_v + A_l$$

$$x_v = Q_v V_l - Q_v A_l + A_v,$$

гдѣ  $x_l$  и  $x_v$ , средніе теоретические варіанты длины и взутости по отношенію къ даннымъ  $V_v$  и  $V_l$ . На фигурахъ ломаной лінієй опредѣляется положеніе среднихъ эмпірическихъ варіантовъ  $M_l$  и  $M_v$ .

Что намъ даетъ вычисленіе коеффиціентовъ регрессій? Прежде всего мы можемъ сказать, что 1) на каждый миллиметръ увеличенія взутости длина раковины въ среднемъ уменьшается на 0,187 мм. ( $Q_l$ ) и 2) на каждый миллиметръ увеличенія длины взутость раковины уменьшается на 0,163 ( $Q_v$ ). Фигуры первая и вторая показываютъ, что эти выводы вполнѣ справедливы для среднихъ варіантовъ: для четырехъ въ регрессіи длины и для трехъ въ регрессіи взутости. Эти 12 комбинацій на таблицѣ III заключены въ рамку, какъ центральная часть группы Catillus.

Напротивъ того, для краевыхъ варіантовъ мы видимъ рѣзкое расхожденіе регрессіонной лінії и эмпірической, что можетъ быть объяснено не только недостаточностью статисти-

ческаго материала, но и его неоднородностью. Неоднородность группы *Catillus* обнаруживается, какъ увидимъ ниже, и на распределеніи числа реберъ.

Переходимъ теперь къ группѣ *trigonoides*. Такъ какъ здѣсь распределеніе частоты длины и вздутости (см. табл. IV) указываетъ на двухвершинная кривыя, то я и не дѣлаю попытку определить теоретическую частоту. Остановимся на болѣе существенной сторонѣ дѣла, установимъ корреляцію между вздутостью и длиной раковины. Въ нижеслѣдующей таблицѣ IV классы вздутости и длины и ихъ частота расположены въ томъ же порядкѣ, какъ и на табл. III.

Прежде всего опредѣлимъ среднюю арифметическую, показатель измѣнчивости и коэффициентъ измѣнчивости:

$$\begin{array}{ll} A_v = 14,04 \pm 0,059 \text{ mm.} & A_l = 26,642 \pm 0,084 \text{ mm.} \\ \sigma_v = 1,826 \pm 0,042 \text{ mm.} & \sigma_l = 2,572 \pm 0,059 \text{ mm.} \\ C_v = 13,01 \pm 0,30\% & C_l = 9,65 \pm 0,22\%. \end{array}$$

#### ТАБЛИЦА IV.

Комбинація частоты классовъ длины (*l*) и вздутости (*v*) раковинъ въ группѣ *trigonoides*

$V_l - V_0$	$V_v$	-3	-2	-1	0	1	2	3	4	5	6	7	$\Sigma(f_{lv})$	$M_v$
-4	21				1	1		2					4	15,7
-3	22		1			6	2	2	3	2			16	16,2
-2	23			2	13		12	5	1				33	15,7
-1	24		2	3	4	12	9	6	1			1	38	15,4
0	25	1	1	10	12	20	10	7	1		1		63	14,9
1	26	1	4	7	18	12	6	7					55	14,5
2	27	1	12	14	11	6	8		1				53	13,5
3	28	7	16	14	5	3	3		1				49	13,9
4	29	5	24	12	8	4	1	1					55	12,8
5	30	2	13	13	6								34	12,7
6	31	3	2	5	1								11	12,4
7	32	2	4	4		1							11	12,4
8	33	1				1							2	13,5
9	34			1									1	13
	$\Sigma(f_{lv})$	22	80	83	68	79	51	30	8	2	1	1	425	
	$M_l$	28,9	28,3	28,1	26,6	25,1	24,9	24,4	24,1	22	25	24		

Затѣмъ вычисляемъ:

$$\frac{\Sigma([V_l - V_o] [V_v - V_o] f)}{n} = -2,75294$$

имѣемъ;  $-v_{1l} = 0,558$  и  $-v_{1v} = 0,96$ .

Отсюда получаемъ коеффиціентъ корреляціи  $r = -0,644 \pm 0,019$ , который также съ отрицательнымъ знакомъ, но значительно выше, чѣмъ въ группѣ Catillus.

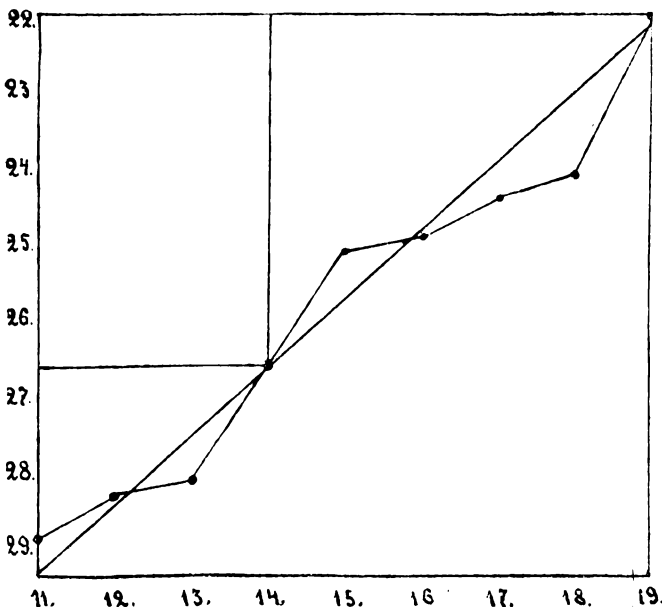
Соответственno этому получаются и болѣе высокіе коеффиціенты регрессіи длины и вздутости:

$$o_l = -0,908 = \text{tang}(-42^{\circ}14') \text{ и } o_v = -0,467 = \text{tang}(-24^{\circ}34').$$

На нижеслѣдующихъ фигурахъ 3-ей и 4-ой сдѣлано графическое сопоставленіе регрессіонныхъ линій съ данными наблюденія.

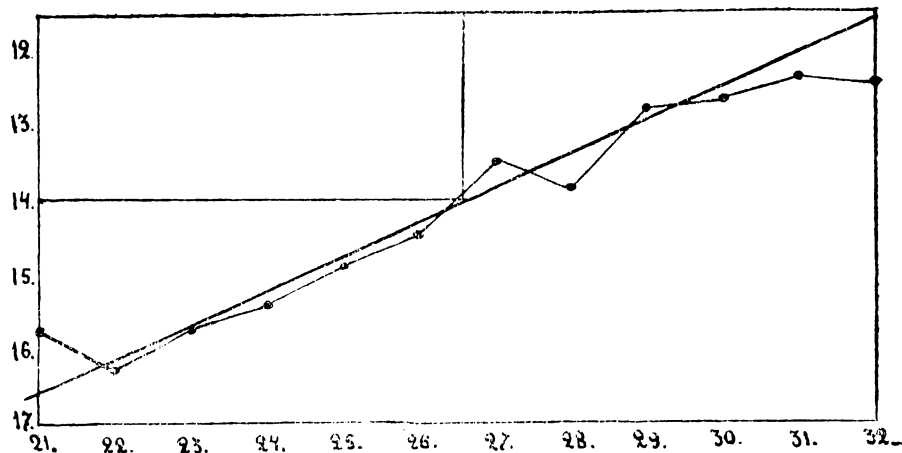
Фиг. 3-ья

гр. Trigonoides. Линія регрессіи длины ( $-\text{tang } 42^{\circ}14'$ )



Фиг. 4-ая

гр. Trigonoides. Линія регрессії взутості (—tang  $24^{\circ}34'$ )



На этихъ фигурахъ крайніе плюсъ варіанты (20, 21 взутості и 33, 34 длины), какъ рѣзко уклоняющіеся по незначительности ихъ частоты, не помѣщены. Линіи регрессії означають: 1) на каждый миллиметръ увеличенія взутості длипа раковины въ среднемъ уменьшается на 0,908 mm., 2) на каждый миллиметръ увеличенія длины взутость раковины уменьшается на 0,457 mm. Сравнивая линіи регрессії съ эмпирическими данными, обозначенными на фигурахъ ломанными линіями, мы не находимъ въ нихъ того совпаденія въ среднихъ варіантахъ, какое наблюдалось нами въ группѣ Catillus. Вместо того по всей линіи происходитъ, вообще говоря, съ увеличеніемъ одного признака уменьшеніе другого, за исключениемъ крайнихъ, помѣщенныхъ на фигурахъ, варіантовъ длины (21 и 32) и еще за однимъ исключеніемъ, на которомъ слѣдуетъ остановиться. Бросается въ глаза очень характерная особенность: нарушеніе корреляціи между двумя

срединными варіантами—между 27 и 28 въ регрессіи вздутости и между 15 и 16 въ регрессіи длины. На табл. IV я обозначилъ это явленіе чертами проведенными между указанными варіантами. Надо замѣтить, что полученный такимъ образомъ лѣвый нижній квадрантъ таблицы преимущественно слагается изъ особаго мелкаго вида *D. trigonoides-catillus*, которому я предложилъ бы другое название—*Didacna Roseni*, что бы устранить двойственность въ названіи вида.

Это плоскія и длинныя раковины, какъ показываетъ ихъ положеніе въ комбинаціонной табл. IV. Образецъ этого вида изображенъ въ моей „Поѣздкѣ на Каспій“ на табл. II подъ буквой D. Очень возможно, что присутствіе въ группѣ именно этого вида, по своимъ относительнымъ размѣрамъ примыкающаго къ группѣ Catillus, преимущественно производить тотъ эффектъ, что получаются двувершинныя кривыя частоты, а также только что указанныя нарушенія въ срединной части линіи регрессіи. Въ силу этого здѣсь комплексный статистическій типъ обнаруживаетъ присутствіе двухъ фенотиповъ.

---

Незначительное число экземпляровъ (98) въ группѣ Crassum заранѣе не обѣщаетъ результатовъ, которые можно было бы широко использовать. Тѣмъ не менѣе я произвелъ вычисленіе существенныхъ элементовъ въ параллель вычислениямъ, произведеннымъ для предшествующихъ группъ. Материалъ для этого вычисленія даетъ нижеслѣдующая таблица V, составъ которой отличается отъ таблицъ III и IV тѣмъ, что здѣсь не показаны среднія эмпирическія величины. Онъ совершенно излишни, какъ мы сейчасъ увидимъ.

## ТАБЛИЦА V.

Комбинація частоты классовъ длины ( $l$ ) и вздутости ( $v$ ) раковинъ въ группѣ crassum.

$V_v - V_o$	—2	—1	0	1	2	3	4	$\Sigma (f_l)$	
$V_v$	13	14	15	16	17	18	19		
$V_l$	$V_o$	$V_l$							
—4	21				1			1	
—3	22	1		1	1			3	
—2	23	1	1	3	5			10	
—1	24	1	6	11	3	1		22	
0	25		3	11	5	2	1	22	
1	26	2	4	4	5	1	1	17	
2	27	1		2	7	7		17	
3	28				1	4		5	
4	29							0	
5	30				1			1	
	$\Sigma (f_v)$	6	14	32	28	16	1	1	98

Получаемъ:

$$A_v = 15,418 \pm 0,137 \quad \sigma_v = 2,016 \pm 0,097 \quad C_v = 13,07 \pm 0,63 \\ A_l = 25,163 \pm 0,110 \quad \sigma_l = 1,615 \pm 0,078 \quad C_l = 6,42 \pm 0,31$$

$$\frac{\Sigma ([V_l - V_o][V_v - V_o]f)}{n} = 0,67347; -v_{1l} = 0,8367; -v_{1v} = 0,5816.$$

$$r = 0,057 \pm 0,068; \rho_l = 0,046 = \tan 2^\circ 38'; \quad \rho_v = 0,072 = \\ = \tan 4^\circ 6'.$$

Получается коэффициентъ корреляціи съ положительнымъ знакомъ и совершенно ничтожный. При этомъ такъ какъ онъ меныше своей вѣроятной ошибки, то практическіи его можно считать равнымъ нулю. Можно сказать, что здѣсь существуетъ независимое варьированіе длины и вздутости раковины.

Такой результатъ вычисленія гармонируетъ съ тѣмъ обстоятельствомъ, что въ этой группѣ средняя величина вздутости большая и средняя величина длины менышиа, чѣмъ въ двухъ предшествовавшихъ группахъ т. е. здѣсь мы имѣемъ дѣло съ болѣе вздутыми и болѣе короткими раковинами, слѣдовательно съ такими классами, которые находятся преимущественно въ среднихъ классовъ группы *Catillus* (ср. табл. III) въ сторону + вздутости и въ сторону—длины. Въ этомъ отношеніи группа *crassum* составляетъ діаметральную противоположность виду *Didacna Roseni*.

---

ТАБЛИЦА VI.

	Число реберъ:	10	11	12	13	14	15	16	17	18	19	20	21	22	23	24	25	26	27	28	29	Сумма.
<i>Catillus</i> . . .							1	10	89	103	85	80	31	16	13	7	5	3	1	1	445	
<i>Trigonoides</i> .	1	2	18	50	93	91	94	43	16	8	6	1	1	1							125	
<i>Crassum</i> . . .							1	3	12	25	14	27	6	4	6						98	
Сумма . . .	1	2	18	50	95	91	107	144	144	107	113	38	21	19	8	5	3	1	1	1	968	

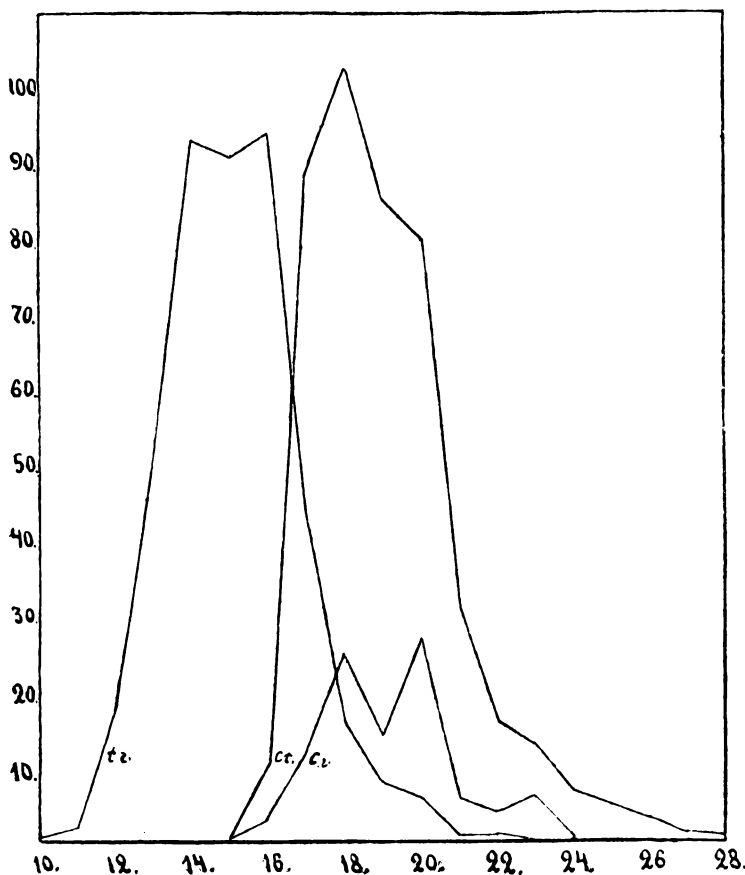
Изъ таблицъ измѣреній барона Розена можно утилизировать съ биометрическими цѣлями еще число реберъ на передней площадкѣ раковинъ во всѣхъ трехъ группахъ дидакнидъ. На нижеслѣдующей таблицѣ VI я сдѣлалъ сопоставленіе этихъ чиселъ съ ихъ частотой.

Что бы сдѣлать болѣе нагляднымъ распределеніе варіантовъ во всѣхъ трехъ группахъ, я дополняю эту таблицу графическимъ изображеніемъ этого распределенія на фиг. 5.

ЧАСТОТА РЕБЕРЪ

Ф И Г У Р А 5-я.

Распределение частоты вариантовъ числа реберъ въ трехъ группахъ дидакнидъ (tr., ст. и cr.).



Здѣсь разнохарактерный составъ группъ *trigonoides* и *crassum* обнаруживается наглядно дву и трехъ вершинными кривыми частоты, а въ группѣ *catillus* ступеньчатой кривой. Если же вывести кривую частоты для совокупности всѣхъ трехъ группъ (968 раковинъ), то получается многовершинная

кривая. Такъ какъ средній варіантъ для совокупности дидакнідъ оказывается между 17 и 18, то сопоставляя распределеніе частоты во всѣхъ трехъ группахъ, мы видимъ, что въ группѣ trigonoides преобладаютъ minus варіанты, а въ группахъ catillus и crassum — plus варіанты. На кривыхъ распределенія видно, что среди этихъ варіантовъ могутъ быть рассматриваемы какъ фенотипы четные варіанты: 14, 16, 18, 20 и лишь одинъ изъ крайнихъ plus варіантовъ съ такимъ свойствомъ оказывается нечетный варіантъ: 23.

Вычислениe, не давал никакихъ указаний на фенотипы, указываетъ въ точныхъ математическихъ терминахъ среднія величины и измѣнчивость. Вотъ эти указанія:

Число реберъ,		$A_c$	$\sigma_c$	$C_c$
	grp. Catillus	$19,067 \pm 0,066$	$2,008 \pm 0,045$	$10,53 \pm 0,24$
	grp: Trigonoides	$15,122 \pm 0,058$	$1,788 \pm 0,041$	$11,83 \pm 0,27$
	grp. Crassum	$19,122 \pm 0,121$	$1,769 \pm 0,085$	$9,25 \pm 0,44$
	Didacnidae	$17,444 \pm 0,060$	$2,651 \pm 0,041$	$15,21 \pm 0,23$

Отмѣтимъ, что въ группѣ Crassum, гдѣ встрѣчаемъ величину среднаго варіанта наибольшую, оказывается коэффициентъ измѣнчивости наименьшій. Наибольшимъ коэффициентомъ измѣнчивости по числу реберъ обладаетъ совокупность всѣхъ трехъ группъ дидакнідъ.

---

Обращаясь снова къ пластическимъ признакамъ вздутости и длины, я сопоставляю показанія относительно нихъ съ показаніями относящимися къ совокупности дидакнідъ. Я не составляю комбинаціонной таблицы для дидакнідъ, такъ какъ ее легко получить сложеніемъ изъ элементовъ таблицъ III, IV и V.

Я беру показанія для средней арифметической, показателя измѣнчивости и коэффициента измѣнчивости сначала вздутости, затѣмъ длины, наконецъ показанія для коэффициента корреляціи и для коэффициентовъ регрессіи длины и вздутости. Все это для всѣхъ трехъ группъ и для совокупности дидакнідъ.\*

	$A_v$	$\sigma_v$	$C_v$
Вздутость.	grp. Catillus $12,611 \pm 0,046$	$1,456 \pm 0,033$	$11,54 \pm 0,26$
	grp. Trigonoides $14,04 \pm 0,059$	$1,826 \pm 0,042$	$13,01 \pm 0,30$
	grp. Crassum $15,418 \pm 0,137$	$2,016 \pm 0,097$	$13,07 \pm 0,63$
	Didacnidae $13,528 \pm 0,040$	$1,856 \pm 0,028$	$13,71 \pm 0,21$

	$A_l$	$\sigma_l$	$C_l$
Длина.	grp. Catillus $28,101 \pm 0,049$	$1,561 \pm 0,035$	$5,55 \pm 0,13$
	grp. Trigonoides $26,642 \pm 0,084$	$2,572 \pm 0,059$	$9,65 \pm 0,22$
	grp. Crassum $25,163 \pm 0,110$	$1,615 \pm 0,078$	$6,42 \pm 0,31$
	Didacnidae $27,205 \pm 0,051$	$2,263 \pm 0,035$	$8,32 \pm 0,13$

	$r$	$Q_l$	$Q_v$
Корреляция.	grp. Catillus $-0,175 \pm 0,031$	$-0,187 = -\operatorname{tg} 10^{\circ} 38'$	$-0,163 = -\operatorname{tg} 9^{\circ} 16'$
	grp. Trigonoides $-0,644 \pm 0,019$	$-0,908 = -\operatorname{tg} 42^{\circ} 14'$	$-0,457 = -\operatorname{tg} 24^{\circ} 34'$
	grp. Crassum $+0,057 \pm 0,068$	$+0,046 = +\operatorname{tg} 2^{\circ} 38'$	$+0,072 = +\operatorname{tg} 4^{\circ} 6'$
	Didacnidae $-0,712 \pm 0,011$	$-0,868 = -\operatorname{tg} 40^{\circ} 58'$	$-0,584 = -\operatorname{tg} 30^{\circ} 17'$

Здесь мы видимъ, что коефиціентъ измѣнчивости не во всѣхъ случаяхъ большій у Дидакнидъ, такъ коеф. изм. длины въ группѣ trigonoides больше чѣмъ въ совокупности всѣхъ трехъ группъ. Замѣтимъ, что въ группѣ Catillus средняя величина вздутости наименьшая и средняя величина длины наибольшая, а между тѣмъ оба коефиціента измѣнчивости самые малые по сравненію съ остальными.

Что касается корреляціи, то не смотря на то, что ея коефиціентъ наибольшій у дидакнидъ, въ группѣ trigonoides коефиціентъ регрессіи длины больше, чѣмъ у дидакнидъ. Это стоитъ въ связи съ большей измѣнчивостью длины trigonoides.

Такъ какъ у всѣхъ, за исключеніемъ Crassum, показатель измѣнчивости длины больше показателя измѣнчивости вздутости, то у нихъ регрессія длины больше регрессіи вздутости. При независимомъ варьированіи этихъ признаковъ въ группѣ Crassum однако можно констатировать обратное отно-

шеніе регрессій другъ къ другу. И въ группѣ Crassum мы въ дѣйствительности встрѣчаемъ наибольшій показатель измѣнчивости вздутости.

Связь между различными элементами вычислениія понятна сама собою, если принять во вниманіе формулы, по которымъ они вычисляются.

---

Въ заключеніе сдѣлаемъ сводку тѣхъ положеній, какія можно вывести, какъ результатъ работы.

1) Изъ всѣхъ трехъ группъ группа Catillus отличается наибольшимъ числомъ видовъ входящихъ въ ея составъ (catillus, protracta, Barbot-de Marni, longipes), однако по пластическимъ признакамъ (высота, длина, вздутость) эта группа обнаруживаетъ свойство единаго фенотипа. Лишь ступеньчатая кривая распределенія числа реберъ въ группѣ Catillus указываетъ на существование нѣсколькихъ фенотиповъ.

2) Группы trigonoides и crassum по пластическимъ признакамъ и по числу реберъ наглядно слагаются изъ нѣсколькихъ фенотиповъ.

3) Коефиціентъ корреляціи вздутости и длины въ группахъ Catillus и trigonoides отрицательный, при этомъ въ первой группѣ онъ слабый, а во второй выше-средний. Коефиціентъ регрессіи длины въ обѣихъ группахъ больше коефиціента регрессіи вздутости.

4) Варьированіе вздутости и длины въ группѣ Crassum почти независимое. Однако можно сказать, что коефиціентъ регрессіи длины меньше коефиціента регрессіи вздутости.

5) Въ группѣ Catillus для четырехъ срединныхъ вариантовъ вздутости (11, 12, 13, 14) и для трехъ срединныхъ вариантовъ длины (27, 28, 29) наблюдается полное совпаденіе линій регрессіи длины и вздутости съ эмпирическими величинами. Получается центръ группы состоящій изъ 12 комбинацій.

6) При двухвершинныхъ кривыхъ частоты въ линіяхъ регрессії наблюдаются эмпирически соотвѣтственныя нарушения корреляціи (группа *trigonoides*). Это положеніе можетъ имѣть значеніе общаго характера.

7) Всѣ три группы по отношенію другъ къ другу и по отношенію къ совокупности дидакнідъ отличаются слѣдующими крайними коеффициентами и показателями измѣнчивости:

*Didacnidae*. Наибольшій показатель и коеффициентъ измѣнчивости числа реберъ. Наибольшій коеффициентъ измѣнчивости вздутости. Наибольшій коеффициентъ корреляціи. Наибольшій коеффициентъ регрессіи вздутости.

*Catillus*. Наименьшій показатель и коеффициентъ измѣнчивости вздутости. Наименьшій коеффициентъ измѣнчивости длины.

*Trigonoides*. Наибольшій показатель и коеффициентъ измѣнчивости длины. Наибольшій коеффициентъ регрессіи длины.

*Crassum*. Наименьшій показатель и коеффициентъ измѣнчивости числа реберъ. Наибольшій показатель измѣнчивости вздутости. Наименьшій показатель измѣнчивости длины.

---

Заканчивая изслѣдованіе, я долженъ сказать нѣсколько словъ о способѣ измѣренія барона Розена по сравненію со способомъ употребленнымъ Bateson'омъ по отношенію къ *Cardium edule* (On some variation of *Cardium edule*. apparently correlated to the conditions of life. Philosophical Transactions of the Roy. Soc. of London (B) vol. 180. И abstract въ Proceedings of the Royal Society of London. Vol. XLVI. 1889). Въ измѣреніяхъ барона Розена мы имѣемъ двѣ взаимно перпендикулярныя линіи между параллельными касательными къ крайнимъ точкамъ длины и вышины раковины, при чемъ употреблялся особый приборъ, изображенный въ „Поѣздкѣ на Каспій“ (стр. 10). Bateson бралъ для опредѣленія вышины (онъ ее называетъ шириной) перпендикуляръ къ линіи наи-

большой длины, проведенный отъ условной точки — задній зубъ правой створки и соотвѣтственное углубленіе лѣвой. Величину вздутости раковины Bateson совершенно не принималъ во вниманіе. Особенность его метода заключается еще въ томъ, что онъ бралъ отношеніе длины къ высотѣ (ширина), а не наоборотъ, и затѣмъ имъ былъ опредѣленъ вѣсъ нѣсколькихъ раковинъ.

---

30 Дек.  
1911 г.

# ПРИЛОЖЕНИЕ.

Формулы, по которымъ производились вычислениія.

Классы или варіанты обозначаются буквой  $V$ . Максимальный по частотѣ или нулевой классъ обозначается  $V_0$ . Сумма всѣхъ измѣренныхъ экземпляровъ— $n$ .

Первый, второй, третій и четвертый моменты кривой по отношенію въ нулевому классу опредѣляются:

$$\nu_1 = \frac{\Sigma ([V - V_0] f)}{n} \quad \nu_2 = \frac{\Sigma ([V - V_0]^2 f)}{n} \quad \nu_3 = \frac{\Sigma ([V - V_0]^3 f)}{n}$$
$$\nu_4 = \frac{\Sigma ([V - V_0]^4 f)}{n}$$

Средняя арифметическая величина классовъ  $A = \frac{\Sigma (V \cdot f)}{n}$

$$= V_0 + \nu_1$$

Показатель измѣнчивости  $\sigma = \sqrt{\nu_2 - \nu_1^2}$ . Коефиціентъ измѣнчивости  $C = \frac{\sigma}{A} 100$ .

О вѣроятныхъ ошибкахъ этихъ трехъ величинъ вмѣстѣ съ другими см. въ концѣ приложенія.

Второй, третій и четвертый моменты по отношенію въ среднему арифметическому классу (первый равенъ нулю) опредѣляются:

$$\mu_2 = \nu_2 - \nu_1^2 \left( + \frac{1}{6} \right)^*; \quad \mu_3 = \nu_3 - 3\nu_1\nu_2 + 2\nu_1^3;$$
$$\mu_4 = \nu_4 - 4\nu_1\nu_3 + 6\nu_1^2\nu_2 - 3\nu_1^4 \left( + \mu_2 - \frac{1}{10} \right)^*$$

---

\*) Выраженія въ скобкахъ отбрасываются, если имѣются не классовые варіанты, а варіанты цѣлыхъ чиселъ (напр. число лучей, зубцовъ и т. п.).

Отношения этихъ моментовъ:

$$\beta_1 = \frac{\mu_3^2}{\mu_2^3}; \quad \beta_2 = \frac{\mu_4}{\mu_2^2}.$$

Критическая функция  $F=2\beta_2-3\beta_1-6$ , по ней опредѣляется типъ кривой.

Важная вспомогательная константа:

$$s = \frac{6(\beta_2 - \beta_1 - 1)}{+ \sqrt{F^2}}$$

Показатель ассимметричности кривой:

$$\alpha = \frac{1}{2} \sqrt{\beta_1} \cdot \frac{\beta_2 + 3}{5\beta_2 - 6\beta_1 - 9} \cdot \frac{\mu_3}{+\sqrt{\mu_3^2}}$$

Разстояніе на абсциссѣ между арифметической средней и модальной точкой ( $Mo$ ), соответствующей основанію ординаты, проведенной отъ вершины теоретической кривой, опредѣляется:  $D=\sigma. \alpha$ .

Въ случаѣ типа I эта ордината (максимальная теоретическая) берется исходной ординатой ( $y_o$ ) и ея положеніе на абсциссѣ слѣдовательно будетъ  $A-D$  т. е. какъ разъ модальная точка ( $Mo$ ).

Приближенная формула исходной ординаты въ типѣ I пишется такъ:

$$y_o = \frac{n}{l} \cdot \frac{(m_1 + m_2 + 1) \sqrt{m_1 + m_2}}{V 2\pi m_1 m_2} \cdot e^{-\frac{1}{12} \left( \frac{1}{m_1 + m_2} - \frac{1}{m_1} - \frac{1}{m_2} \right)}.$$

$$\text{Здѣсь вся длина абсциссы } l = \frac{\sigma}{2} \sqrt{\beta_1(s+2)^2 + 16(s+1)}.$$

У Davenport'a употребляются иѣсколько иныхъ выражений, но отъ этого окончательный результатъ существенно не мѣняется. Ср. Dunker. Die Methode der Variationsstatistik. Archiv fr Entwickelungsmechanik der Organismen. 8. Bd. 1899.

Части ея по одну и по другую сторону отъ модальной точки:

$$l_1 = \frac{l - Ds}{2}; l_2 = \frac{l + Ds}{2}$$

Затѣмъ:  $m_1 = \frac{l_1}{l}(s - 2)$ ;  $m_2 = \frac{l_2}{l}(s - 2)$ , слѣдовательно  $m_1 + m_2 = s - 2$ .

$e = 2,71828$  (основаніе неперовской системы логарифмовъ).

Величина ординатъ ( $y$ ) соотвѣтствующихъ различнымъ классамъ опредѣляется по формулѣ:

$$y = y_o \left(1 + \frac{x}{l_1}\right)^{m_1} \left(1 - \frac{x}{l_2}\right)^{m_2}$$

Подставляя различные значения  $x$ , по формулѣ  $x = V - (A - D)$ , соотвѣтственные разнымъ классамъ ( $V$ ), мы получаемъ соотвѣтственные ординаты ( $y$ ) или теоретическую частоту этихъ классовъ.

Что касается кривой типа IV, самой обыкновенной изъ биологическихъ ассиметричныхъ кривыхъ, то здѣсь исходная ордината ( $y_o$ ) не совпадаетъ ни съ средней, ни съ максимальной, но находится въ точкѣ  $A - mD$ .

$$\text{Здѣсь } l = \frac{\sigma}{4} \sqrt{16(s-1) - \beta_1(s-2)^2}, \quad m = \frac{s+2}{2};$$

$$mD = \frac{\sigma}{2} \sqrt{\beta_1} \cdot \frac{\beta_2 + 3}{2\beta_2 - 3\beta_1 - 6} \cdot \frac{\mu_3}{+\sqrt{\mu_3^2}}.$$

Приближенная формула исходной ординаты въ типѣ IV пишется такъ:

$$y_o = \frac{n}{l} \cdot \sqrt{\frac{s}{2\pi}} \cdot \frac{\frac{(\cos\varphi)^2}{3s} - \frac{1}{12s} - \tau\varphi}{s+1},$$

$$(cos\varphi)$$

гдѣ  $\varphi$  равняется углу, котораго тангенсъ есть  $\frac{\tau}{s}$ , а

$$\tau = \frac{\sigma \cdot s(s-2) V \beta_1}{4l} \cdot \frac{\mu_3}{-V \mu_3^2}.$$

Величина ординатъ ( $y$ ) соотвѣтствующихъ различнымъ классамъ опредѣляется по формулѣ:

$$y = y_o (\cos \vartheta)^{2m} \cdot e^{-\tau \vartheta},$$

гдѣ переменная  $\vartheta$  опредѣляется формулой  $x = V - (A - mD) = ltang \vartheta$ .

(При логарифмированіи  $\log \vartheta^o$  опредѣляется въ градусахъ и доляхъ градуса).

---

Коеффиціентъ корреляціи:

$$r = \left[ \frac{\Sigma ([V_l - V_o] [V_v - V_o] f)}{n} - v_{1l} \cdot v_{1v} \right] \cdot \frac{1}{\sigma_l \sigma_v}$$

т. е. суммируются произведенія уклоненій классовъ вздутости и длины отъ ихъ нулевого класса (классъ эмпирической максимальной частоты) на ихъ частоту, результатъ дѣлится на сумму всего количества экземпляровъ. Такъ какъ  $A = V_o + v_1$ , то  $V - A = V - V_o - v_1$ , поэтому для приведенія полученнаго выраженія къ среднимъ арифметическимъ числамъ длины и вздутости необходимо изъ него вычесть произведеніе первыхъ моментовъ ихъ кривыхъ въ отношеніи нулевого класса, взятыхъ съ отрицательнымъ знакомъ, т. е.  $(-v_{1l}) (-v_{1v})$ . При этомъ, если  $v_1$  имѣетъ положительный знакъ, то берется дополнительное до 1 число ( $v_1$  правильная дробь, если вѣрно взять нулевой вариантъ  $V_o$ ). Послѣ этого разность дѣлится на произведеніе показателей измѣнчивости.

Коеффиціентъ регрессіи получается по формулѣ:

$$\rho_v = r \frac{\sigma_v}{\sigma_l} \text{ и } \rho_l = r \frac{\sigma_l}{\sigma_v}.$$

---

Формулы для определения вероятной ошибки ( $E$ ) наиболее важныхъ элементовъ исчислениа.

Замѣтимъ, что факторъ  $T=0,67449$  и  $\lg T=\overline{1},828976$ .

$$E_A = \pm T \frac{\sigma}{\sqrt{n}}; \quad E_{\sigma} = \pm T \frac{\sigma}{\sqrt{2n}}; \quad E_C = \pm T \frac{C}{\sqrt{2n}} {}^*;$$

$$E_a = \pm T \sqrt{\frac{3}{2n}};$$

$$E_D = \pm T \sqrt{\frac{3}{2n}} \cdot \sigma; \quad E_r = \pm \frac{T(1-r^2)}{\sqrt{n}}.$$

Замѣтимъ, что шансы, что истинная величина заключается въ указываемыхъ предѣлахъ, будутъ:

Предѣлы: Шансы: Предѣлы: Шансы:

$$\pm 2E \quad 4,5 : 1 \quad \pm 6E \quad 19200 : 1$$

$$\pm 3E \quad 21 : 1 \quad \pm 7E \quad 420000 : 1$$

$$\pm 4E \quad 142 : 1 \quad \pm 8E \quad 17000000 : 1$$

$$\pm 5E \quad 1310 : 1 \quad \pm 9E \quad \text{Приблизит. биллонъ: 1.}$$

---

<sup>\*</sup>) Въ томъ случаѣ, если  $C$  не болѣе  $10-15\%$  и если ограничиться двумя десятичн. знаками. Въ противн. случаѣ  $E_C = \pm T \frac{C}{\sqrt{2n}} \left[ 1+2\left(\frac{C}{100}\right)^2 \right]^{1/2}$ .